

# مورفولوژی و سینتیک فولاد ساده کربنی

## توسط $H_2S$ در ۸۲۳ تا ۹۲۳ کلوین

محمود فرازپی<sup>\*</sup>، سید خطیب‌الاسلام صدرنژاد<sup>\*\*</sup>

\* گروه متالورژی و مواد، دانشگاه آزاد اسلامی واحد شهر مجلسی

\*\* استاد دانشکده متالورژی، دانشگاه صنعتی شریف

### چکیده

خوردگی فولاد در محیط‌های گوگرد دار در دمای بالا، در صنایع متالورژی، نیروگاهها، پالایشگاه‌ها و صنایع شیمیایی به خصوص در محفظه و دیواره‌های کوره‌ها و محل احتراق به شدت مطرح بوده است. تحقیقات در این زمینه برای شناسائی مورفولوژی لایه‌های محصول خوردگی و نیز سینتیک واکنش‌ها به منظور جلوگیری از تخریب پیشتر و نیز کاهش آثار زیان‌بار به تاسیسات فلزی، رو به گسترش است. در این مقاله، ترمودینامیک و سینتیک واکنش سولفیداسیون فولاد ساده کربنی با گاز  $H_2S$  و در دمای بالا به روش وزن سنجی حرارتی ناپیوسته مورد بررسی قرار گرفته است. بدین منظور محفظه آزمایش (راکتور) طراحی و ساخته شد و گاز  $H_2S$  از طریق واکنش  $Na_2S$  با اسید کلریدریک غلیظ تهیه و در شرایط آزمایشات وارد راکتور گردید. آزمایش‌های سولفیداسیون فولاد ساده کربنی در دمای K ۸۲۳ و در فشار یک اتمسفر انجام شد و نتایج آن با مدل‌های هسته کاوهندۀ مطابقت داده شد و معادله ضریب نفوذ آهن در لایه سولفیدی به دست آمد. در این آزمایش‌ها علاوه بر آنالیز لایه‌های سولفیدی با تفرق اشعه X، مورفولوژی آن در حالت تماس فولاد با گاز  $H_2S$  در دمای بالا، با میکروسکوب الکترونی مورد بررسی قرار گرفت.

### واژه‌های کلیدی

ترمودینامیک، سینتیک، سولفیداسیون، فولاد ساده کربنی،  $H_2S$ ، مورفولوژی

طور کلی فرآیند سولفیداسیون به مراتب پیچیده‌تر از فرآیند اکسیداسیون است زیرا که تعداد سولفیدهای پایداری که می‌توانند در حین انجام فرآیند سولفیداسیون ایجاد شوند، معمولاً خیلی بیشتر از اکسیدهای پایدار در فرآیند اکسیداسیون می‌باشند. حجم مولکولی سولفیدها بزرگ‌تر از حجم مولکولی اکسیدها بوده و غالباً شرایط سولفیدها برای ایجاد فازهای با نقطه ذوب پائین مهیا است[۴].

### ۲- اصول ترمودینامیکی سولفیداسیون

مهمازین قسمت در بررسی‌های خوردگی در دمای بالا، ضرورت تشخیص این مطلب است که آیا عنصر مشخصی از

### ۱- مقدمه

تخریب دیواره کوره‌ها، محفظه‌های احتراق و مجاری خروج گازها، سبب گسترش تحقیقات در زمینه خوردگی در دمای بالا در صنایع متالورژی، نیروگاهها و پتروشیمی شده است[۱،۲،۳].

فرآیندهای سولفیداسیون نسبت به فرآیندهای اکسیداسیون به مراتب کمتر شناخته شده‌اند. در فرآیندهای سولفیداسیون علاوه بر این که لایه‌های سولفیدی بر سطح فلز تشکیل می‌شوند، پدیده‌هایی نظیر: نفوذ یون‌های گوگرد و فلز، رشد و گسترش پوسته و یکنواختی توزیع پوسته سولفیدی نیز مطرح است. به

است[۴].

#### ۴- نحوه بررسی سرعت سولفیداسیون آلیاژها

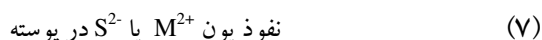
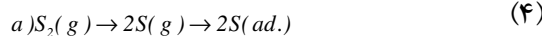
سرعت تشکیل سولفید را می‌توان به چند روش زیر مورد مطالعه قرار داد:

الف- میزان فلز مصرف شده در مدت آزمایش.

ب- میزان گوگرد مصرف شده طی سولفیداسیون.

ج- میزان سولفید تولید شده در زمان‌های مختلف[۵].

بسیاری از فلزات در دمای بالا از قانون پارابولیک تعیت می‌کنند. نفوذ یکنواخت یک یا دو عامل واکنش دهنده از داخل لایه سولفیدی، همراه با فرآیندهای شیمیائی و الکتروشیمیائی زیر انجام می‌شوند[۶-۷]:



سرعت سولفیداسیون به وسیله نفوذ کاتیون‌ها به سمت بیرون و یا در مواردی نادر به وسیله نفوذ  $S^{2-}$  به داخل پوسته سولفیدی کنترل می‌شود. به لحاظ اهمیت صنعتی و پیچیدگی علمی، نحوه ایجاد و رشد پوسته سولفیدی در فولادها مورد توجه تعدادی از محققین قرار گرفته است[۷,۸]. در هنگام بررسی سرعت سولفیداسیون به روش وزن سنجی ناپیوسته ابتدا نمونه مورد آزمایش توزین شده و سپس در محیط حاوی گاز سولفید کننده باشایط و زمان مشخص در راکتور قرار می‌گیرد. پس از آن نمونه از داخل راکتور بیرون آورده شده و سرد شده و سریعاً وزن می‌شود. در این روش باید دقیق شود که کلیه لایه‌های سولفیدی، بر اساس افزایش وزن نمونه سولفید شده متوجه باشد[۹].

این مقاله به بررسی سینتیک شیمیائی و انتقال فولاد ساده کربنی در محیط گوگرددار و در دمای بالا پرداخته است.

آلیاژ می‌تواند با عنصر مشخص از فاز گازی وارد واکنش شود یا نه؟ این مطلب خصوصاً در هنگام مواجهه با مخلوطی از گازها، اهمیت پیدا می‌کند. در این شرایط فرض برقراری تعادل ترمودینامیکی، ابزاری کارآمد برای حل مسئله ارائه می‌دهد. انرژی آزاد تشکیل سولفیدها با توجه به معادله واکنش (۱) به صورت معادله (۲) است.



بنابراین فشار تعادلی سولفید عبارت است از:

$$(P_{S_2}) = \exp(-\Delta G^\circ / RT) \quad (3)$$

لذا فشار تعادلی با کمک  $\Delta G^0$  سولفید و در یک دمای بهخصوص، از رابطه (۳) به دست می‌آید. سولفیداسیون فلز M در هنگامی رخ می‌دهد که فشار جزء سولفور (S) در اتمسفر گازی بیشتر از فشار تعادلی در رابطه (۳) باشد. بنابراین در محیط‌های سولفیدی لازم است فشار جزئی سولفور  $P_{S_2}$  مشخص باشد تا واکنش پذیری سولفیداسیون امکان‌پذیر شود[۴].

#### ۳- روش‌های مطالعه سولفیداسیون در دمای بالا

هدف از مطالعه سولفیداسیون در دمای بالا، بررسی سینتیک واکنش سولفیداسیون یک آلیاژ تحت شرایط ترمودینامیکی مشخص نظری: دما، فشار و ترکیب شیمیائی است. یکی از روش‌های متدائل برای بررسی این واکنش‌ها، روش اندازه گیری ناپیوسته وزنی است. در این روش نمونه با وزن و ابعاد مشخص در زمان‌های معین برای انجام واکنش در محفظه واکنش (راکتور) تحت دما و جریان گازهای واکنش کننده قرار می‌گیرد. پس از گذشت مدتی معین از شروع آزمایش، نمونه از راکتور خارج شده و در اثر تماس با هوا تا دمای محیط سرد می‌شود. توزین مجدد و در برخی موارد اندازه گیری ابعاد، اطلاعات لازم برای تعیین سرعت سولفیداسیون را به دست می‌دهد. بررسی سینتیک سولفیداسیون از طریق اندازه گیری وزن نمونه بسیار دقیق‌تر از اندازه گیری ابعاد آن قبل و بعد از واکنش

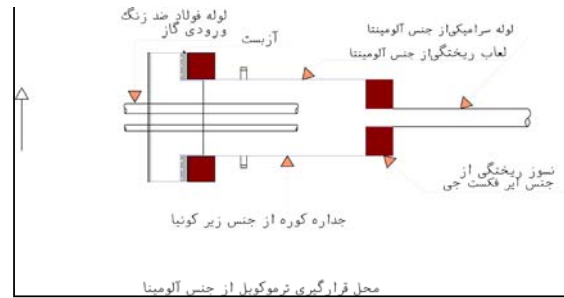
اتمسفر و در دماهای بین ۹۲۳ K- ۸۲۳ K و در محیط  $H_2S$  صورت گرفت. سپس مورفولوژی ساختار پوسته‌ها و لایه‌های سولفیدی و نحوه توزیع عناصری نظری S و Fe در پوسته با کمک میکروسکوپ الکترونی مورد بررسی قرار گرفت.

## ۵- روش تحقیق

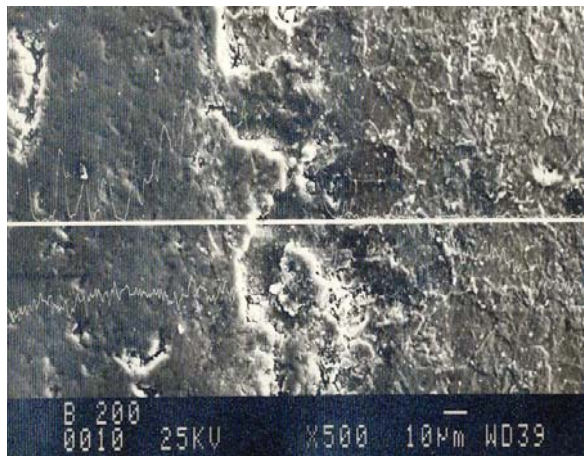
در ابتدا راکتوری طراحی و ساخته شد که تصویر آن در شکل(۱) نشان داده شده است. نمونه‌های مورد آزمایش از جنس فولاد ساده کربنی با ابعاد  $10 \times 10 \times 2\text{ mm}$  بوده که در وسط هر کدام سوراخی به قطر ۳ میلی متر تعییه شده بود. نمونه‌ها ابتدا با سمباده کمی سائیده و با پودر آلومینیا پولیش شده تا جلای آینه‌ای پیدا کرده و سپس با آب و استون، شستشو شده و خشک شدند. در کلیه مراحل فوق الذکر باید از یکنواختی ضخامت قطعات اطمینان حاصل شود. به منظور نگهداری نمونه‌ها در داخل کوره از میله‌های سرامیکی با قطر ۲ میلی متر و طول حدود ۷ سانتی متر استفاده شد به طوری که نمونه‌ها بر روی میله‌های سرامیکی نصب گردید و در داخل محفظه واکنش به طور افقی قرار گرفتند. سپس محفظه واکنش (راکتور) در داخل کوره تامن به طور افقی قرار گرفته و گاز  $H_2S$  با دبی تقریبی  $3\text{ CC}/\text{Sec}$  از روی سطح نمونه‌ها و در دمای مورد نظر واکنش عبور داده شد. گاز  $H_2S$  از طریق محفظه‌های بخصوصی که به طور پشت سر هم قرار گرفتند، بر طبق واکنش(۹) تولید شده و در دمای بالا، به سمت نمونه‌ها هدایت شده به طوری که در مسیر ورود گاز به راکتور آنرا با  $Mg(OH)_2$  تصفیه نموده تا آن کاملاً خارج گردد. سپس از ستون‌های آهکی عبور کرده تا رطوبت‌گیری شود.



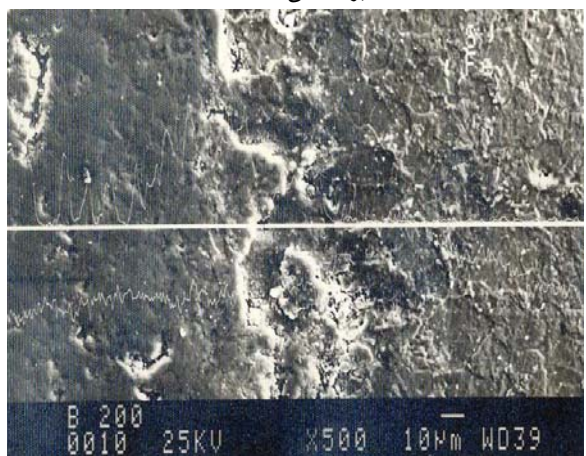
درجه حرارت محفظه واکنش توسط ترموموکوپل اندازه‌گیری شده که دقت اندازه‌گیری دما در این شرایط  $K \pm 5$  بوده است. برای جلوگیری از اکسیداسیون شدید نمونه‌ها در حین انجام واکنش، محفظه واکنش به دقت آببندی شد. این محفظه در داخل تونل افقی کوره تامن قرار گرفت و سپس به



شکل(۱): طرح محفظه آزمایش (راکتور) جهت انجام آزمایش‌ها در دمای بالا

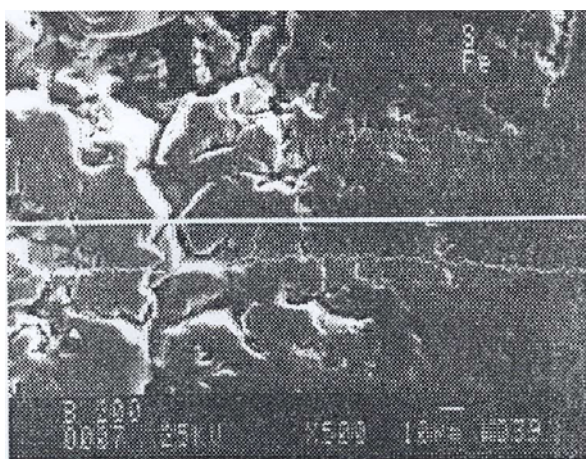


شکل(۲): لایه‌های تشکیل شده در اثر سولفیداسیون فولاد ساده کربنی با گاز  $H_2S$  در شرایط دمای K ۹۲۳ فشار ۱ اتمسفر و مدت ۲۰ دقیقه. در سمت چپ تصویر فلز پایه و در سمت راست آن لایه‌های سولفیدی مشاهده می‌شود (بزرگنمایی X ۲۷۰).

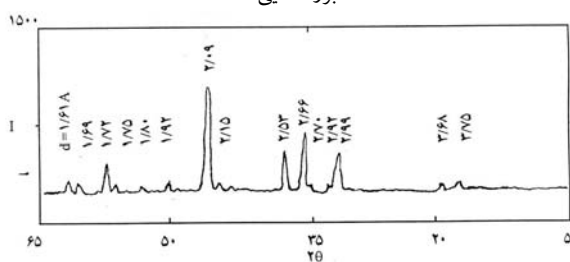


شکل(۳): نحوه توزیع عناصر S و Fe در لایه‌های سولفیدی ایجاد شده بر روی فولاد ساده کربنی. در اینجا سمت راست شکل(۲) نشان داده شده است (بزرگنمایی X ۵۰۰).

آزمایش‌ها از روش وزن سنجی حرارتی ناپوسته و در فشار



شکل (۴): توزیع عناصر S و Fe در لایه های سولفیدی ایجاد شده در سطح فولاد ساده کربنی. در اینجا سمت چپ شکل ۲ نشان داده شده است. (بزرگنمایی 500X)



شکل (۵): نمودار XRD ترکیب شیمیایی FeS در پوسته های موجود بر روی فولاد ساده کربنی

فولاد همراه با خلل و فرج زیادی است. این لایه ها بسیار ترد و حساس هستند و لذا برای پولیش مناسب آنها باید دقت زیادی نمود. خراش هائی که بر سطح لایه سولفیدی وجود دارد به مراتب عمیق تر از خراش های موجود در سطح فلز است. بنابراین، زمان لازم جهت پولیش برای از بین رفتان کامل این خراش ها بیشتر از زمان لازم برای پولیش سطوح فلزی است. در صورتی که این مرحله با دقت انجام شود لایه های کاملاً فشرده همراه با خلل و فرج به دست خواهد آمد که برای مطالعات متالوگرافی با میکروسکوپ الکترونی بسیار مناسب است.

مرحله اچ کردن: در این مرحله، به منظور بررسی ساختار میکروسکوپی لایه های سولفیدی و نیز فصل مشترک بین لایه سولفیدی و فلز، از محلول ۲٪ Nital استفاده می شود. پس از آن شستشو در آب یا الکل در مدت کافی صورت می گیرد به

آرامی حرارت داده شد و در دماهای آزمایش، گاز  $H_2S$  با دبی مشخص وارد محفظه واکنش گردید. در کلیه مراحل انجام واکنش، درجه حرارت نمونه ها و محفظه واکنش، و دبی گاز، و زمان لازم واکنش به دقت کنترل شد و پس از مدت زمان مشخصی از انجام واکنش، ورود گاز  $H_2S$  قطع گردید و نمونه ها از آن خارج شد و تا دمای محیط سرد شدند و سپس با ترازوی دقیق توزیع شدند. اختلاف وزن آنها قبل و بعد از واکنش محاسبه گردید.

## ۶- نتایج و مباحث

### نحوه بررسی نمونه ها

اولین مرحله مطالعه لایه های حاصل از سولفیداسیون، بررسی چشمی با چشم غیرمسلح می باشد. از این روش، یکنواختی و صافی لایه های تشکیل شده بر روی سطح فولاد بررسی و نیز وضعیت ترک های احتمالی در لایه ها مشخص می شود. لذا می توان چگونگی سولفیداسیون در لبه ها و در سطوح داخلی و مرکز نمونه ها را با یکدیگر مقایسه کرد.

پس از این مرحله، بررسی ها با کمک میکروسکوپ الکترونی SEM صورت می گیرد. بهره گیری از روش آنالیز تفرق با اشعه ایکس XRD جهت بررسی فازهای موجود در لایه های سولفیدی نیز ضروری می باشد. مراحل آماده سازی نمونه ها در اینجا به صورت زیر انجام شد.

### نحوه آماده سازی نمونه های سولفید شده جهت بررسی میکروسکوپی

نمونه های سولفید شده ابتدا مانت سرد شدند و از انجام کارهای مکانیکی و شرایطی که باعث آسیب رساندن به لایه سولفیدی شود، اجتناب گردید. در مانت سرد از رزین های مایع به خصوص (اپکسی) استفاده شد. در این روش ابتدا، نمونه ها در قالب به طور مناسب قرار می گیرند و سپس رزین در داخل قالب ریخته و پس از مدتی قطعات مانت شده حاوی نمونه ها آماده می شوند [۱۰].

پولیش نمونه ها: لایه های سولفیدی ایجاد شده بر روی

می‌دهد. این تصاویر با کمک دستگاه الکترون‌میکروپریب (Microprobe Electron) و با ولتاژ شتاب دهنده ۲۵kV و جریان ۱۵۰ میلی آمپر تهیه شده است.

#### آنالیز لایه‌های سولفیدی با استفاده از اشعه ایکس:

به منظور شناسائی ترکب شیمیائی فازهای ایجاد شده در لایه‌های سولفیدی و در اثر انجام واکنش سولفیداسیون، نمونه ای از این لایه‌ها جهت آنالیز اتفاق اشعه ایکس تهیه گردید. نمونه مورد آنالیز حاوی لایه‌های سولفیدی موجود بود که به صورت همگن تهیه شد. سپس پودر آن با اشعه ایکس آنالیز شد. در شکل (۵) نتیجه آنالیز XRD لایه‌های سولفیدی تشکیل شده بر روی فولاد نشان داده شده است.

همان گونه که از نمودار آنالیز اشعه ایکس در شکل (۵) مشاهده می‌شود، پیک‌های اصلی (بزرگ) و پیک‌های فرعی (کوچک) آن مورد بررسی قرار گرفته و با جستجو در مراجع مربوطه [۱۱ و ۱۲] ترکیب شیمیائی لایه‌ها، FeS تشخیص داده شد.

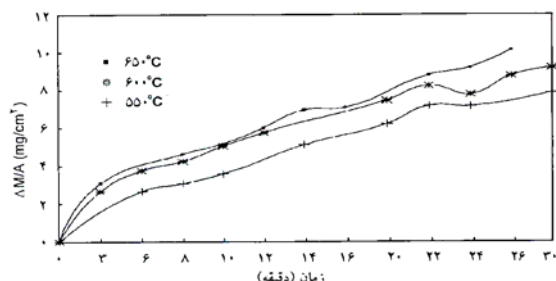
#### تطبیق نتایج آزمایش با مدلها:

در نمودار شکل (۶) نحوه افزایش وزن نمونه‌های فولاد ساده کربنی بر واحد سطح بر حسب زمان واکنش و در ماهات مختلف واکنش سولفیداسیون نشان داده شده است.

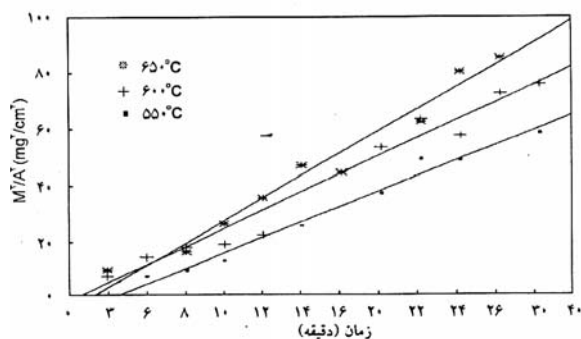
در شکل (۷) نحوه تغییرات مربع افزایش وزن نمونه‌ها در اثر واکنش سولفیداسیون در واحد سطح، بر حسب زمان واکنش و در درجه حرارت‌های مختلف با کمک شکل (۶) رسم شده است. همان گونه که از شکل (۷) مشاهده می‌شود، سولفیداسیون فولاد ساده کربنی مورد آزمایش از قانون سرعت پارabolیک پیروی می‌نماید.

مقادیر سرعت سولفیداسیون فولاد ساده کربنی مورد آزمایش را می‌توان بر طبق قانون آرنیوس بر حسب عکس درجه حرارت به گونه‌ای که در شکل (۷) نشان داده شده است رسم نمود.

با توجه به شکل (۷) مشاهده می‌شود که نتایج آزمایش‌های سولفیداسیون فولاد ساده کربنی با گاز  $H_2S$  منجر به دستیابی به



شکل (۶): نحوه تغییرات افزایش وزن نمونه بر حسب زمان واکنش سولفیداسیون در دماهای ۸۲۳ K، ۸۷۳ K، ۹۲۳ K



شکل (۷): رسم مربع افزایش وزن نمونه‌ها بر حسب زمان سولفیداسیون فولاد ساده کربنی و در تماس با گاز  $H_2S$  در فشار ۱ اتمسفر و دماهای مختلف

طوری که محلول اج که بر اساس خاصیت موئینگی به داخل حفره‌ها و ترک‌ها نفوذ می‌کند، کاملاً خارج می‌شود. سپس نمونه‌ها در مقابل جریان هوای داغ خشک می‌شوند.

#### آنالیز محصول واکنش سولفیداسیون فولاد ساده کربنی در برابر گاز $H_2S$

شناخت ساختار میکروسکوپی و مورفولوژی پوسته‌های سولفیدی و زمینه فلزی در تماس با گاز  $H_2S$  از اهمیت زیادی برخوردار است.

شکل (۲) ریز ساختار پوسته‌های سولفیدی ایجاد شده بر روی فولاد ساده کربنی را نشان می‌دهد. این پوسته‌ها بسیار ترد و شکننده بوده و آماده سازی مقاطع لازم برای متالوگرافی با مشکلات زیادی همراه بود.

شکل‌های (۳) و (۴) نحوه توزیع کمی عناصر گوگرد و آهن را در زمینه فولادی و نیز پوسته‌های سولفیدی ایجاد شده در اثر سولفیداسیون در شرایط گاز  $H_2S$  و در دمای ۹۲۳ K نشان

Livraghi, M. Quaglia, G.M. Barrilac, Uberti, F. Charactrion of High temperature Corrosion Behaviour of the Modified Ferritic Steel. Process Materials, innovation Stqinless Steel, Vol.3.Floence Italy, 11-14 Oct, (1993).

Narita, T.Lshikawa, T.Nakamari, M. Sulfidation properties of low alloy steels in H<sub>2</sub>S and H<sub>2</sub> atmospher. Pub: Elsevier Science. Netherland, (1992).

K.N Strafford and Manifold, The Corrosion of Fe and some based alloys in S vapour at 500°C Corrosion Science. Vol. 9pp 489 to 507,(1969).

K.L. Luthra, Mechanism of Low Temp. Hot Corrosion High Temprature Corrosion by : Rappe,(۲۰۰۳).

R.A. Meussner and C.E. Birchenall, The Growth of Ferrous Sulfide on Iron. Corrosion j. 13,6771 ,Oct, (1957).

Philps, Modern Metallographic techniques and their applications, Wiely Interscience, (1971).

Culity, Elements of X-Ray Diffraction Addision Wesely, M.A.(1956).

Inorganic powder Diffraction File, published by joint committee on powder Diffraction Standards, philadelphia, set: 1-22,(1903-1960).

Mazet, N, Spinner. Modeling of Gas-Solid Reactions,2. porousSolids, Int. Chem. Eng.Vol.32.No. 3. P:395.(1992)

Mazet, N, Modeling of Gas-Solid Reactions, 1Non-PorousSolids Int.Chem. Eng. Vol.32.No.2 .pp:271-284, April, (1992).

[۵]

[۶]

[۷]

[۸]

[۹]

[۱۰]

[۱۱]

[۱۲]

خط راست می شود. با کمک شب این خط انرژی اکتیواسیون برابر: Q=6.899kcal است.

#### ۷- نتیجه گیری :

سولفیداسیون فولاد ساده کربنی در تماس با گاز H<sub>2</sub>S در محدوده درجه حرارت K-923 K-923 K-923 K-923 K-923 K تحت نفوذ داخلی طبق معادله [۱۳-۱۴] Mazet است. برای ضریب نفوذ در محصول رابطه (۱۰) به دست آمد.

$$D = 7.68 \times 10^{-7} \exp\left(-\frac{6899.25}{RT}\right) \quad (10)$$

این ضریب نفوذ برای نفوذ به سمت بیرون کاتیونها در لایه سولفیدی و به سمت فصل مشترک FeS/SO<sub>2</sub> است.

#### ۸- تقدیر و تشریف

از کلیه عزیزانی که در انجام مراحل آزمایشگاهی و تدوین مطالب این تحقیق یاری نمودند، سپاسگزارم.

#### ۹- مراجع

Nakamor, M. Harade, Y. Sulfide Corrosion of water cooled wall tubes in oil fired Boilers under low oxygen combustion conditions, published by : Elsevier Applied Science,(1988). [۱]

Kihara, S.,Nakagawa, K. High Temp. Corrosion in Advanced Thermal Power Plants Corrosion Eng. 37,9,566-576.sept,(1988). [۲]

T.F. Foerster, A.V. Levy and J.S. Newman Corrosion of Metals in Coal Environments, :High Temprature Corrosion. Publised by : NACE, (1983). [۳]

O. Kubaschusk, and Hopkins, B.E., the Oxidation of Metals and Alloys, Secend edition, Academic press, Inc. New York, (1962). [۴]